

і з меншою від ентропії /І2/ розподілу Вейбула, оскільки

$$2УЕК = 2,69 \dots < e^{C+0,5} = 2,95 \dots$$

Зауважимо, що з нерівностей для ентропій можна дістати багато цікавих нерівностей для функцій. Наприклад, якщо порівнювати ентропію логнормального розподілу з ентропією узагальненого розподілу Вейбула при однакових початковому моменті порядку $b > 0$, та першому логарифмічному моменті, то з умови додатності дисперсії одержимо нерівність $\psi(x) < \ln x$, $x > 0$.

Список літератури: І. Квіт І.Д., Москва к. С.В. Розподіли деяких процесів руйнування. - Він. Львів. ун-ту, сер. мех.-мат., 1979, вип. 15. 2. Квіт І.Д. Ентропія розподілів. Вид-во Львів. ун-ту, 1971. 3. Янке Е., Эмде Ф., Леш Ф. Спеціальні функції. - М.: Наука, 1964.

Стаття надійшла в редколегію 18.12.1979 р.

УДК 539.3

І.А.Прокопішин, Д.Г.Хлебніков

НАЕМІНЕНЕ ВИЗНАЧЕННЯ ТЕМПЕРАТУРНИХ НАПРУЖЕНЬ
В ЕКРАННОМУ ВУЗЛІ КІНЕСКОПА З ПЛОСКИМ ЕКРАНОМ

Екранний вузол кінескопа розглядається як трипластинчаста система, що знаходиться під дією зовнішнього тиску інтенсивності ρ і заданого температурного поля, симетричного відносно площин $X_1 = \frac{a}{2}$, $X_2 = \frac{b}{2}$ /рис.І/.

З огляду на симетрію обмежимось розглядом пластинок I і 2, серединні площини яких займають відповідно області $0 \leq X_1 \leq a$, $X_2 = 0$, $0 \leq Y_1 \leq B$ і $0 \leq X_1 \leq a$, $Y_2 = 0$, $0 \leq Y_1 \leq C$.

Прогини пластинок w_1 і w_2 задоволяють рівняння [І, 2]

$$\Delta_{xy_i}^2 w_i = \frac{\rho}{D_i} - \omega (1+\gamma) \Delta_{xy_i} T_i, \quad i=1,2, \quad /І/$$

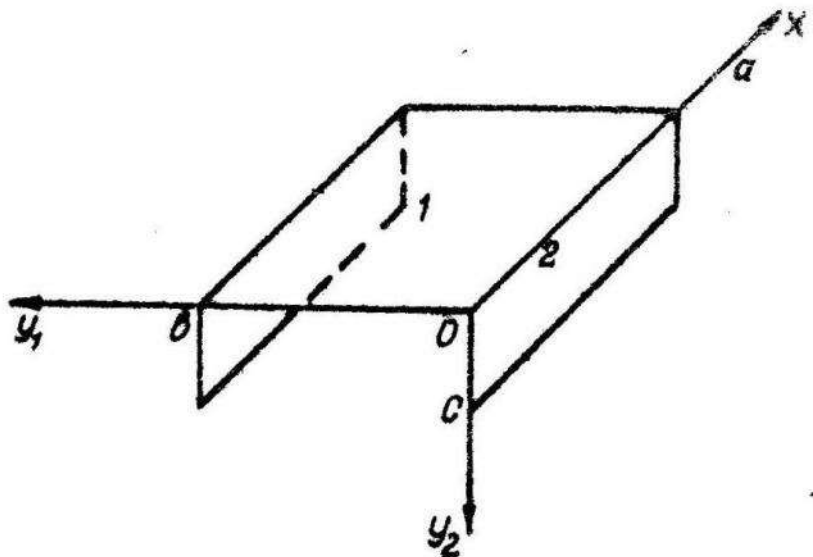


Рис. I.

умови симетрії:

$$W_1(x, y_1) = W_1(\alpha - x, y_1) = W_1(x, \beta - y_1), W_2(x, y_2) = W_2(\alpha - x, y_2), \quad /2/$$

шарнірного спирання при $x=0, x=a$

$$W_1(0, y_1) = W_1(a, y_1) = 0, \frac{\partial^2 W_1}{\partial x^2}(0, y_1) = \frac{\partial^2 W_1}{\partial x^2}(a, y_1) = -\omega(1+\nu)\tau_1(0, y_1); \quad /3/$$

пружного защемлення при $y_2 = C$

$$W_2(x, C) = \kappa C^2 \left[(2-\nu) \frac{\partial^2 W_2}{\partial x^2 \partial y_2}(x, C) + \frac{\partial^2 W_2}{\partial y_2^2}(x, C) + \omega(1+\nu) \frac{\partial \tau_2}{\partial y_2}(x, C) \right], \quad /4/$$

$$\frac{\partial W_2}{\partial y_2}(x, C) = -2\kappa C \left[\frac{\partial^2 W_2}{\partial y_2^2}(x, C) + \nu \frac{\partial^2 W_2}{\partial x^2}(x, C) + \omega(1+\nu) \tau_2(x, C) \right];$$

рівності кутів повороту та згинних моментів при $y_1 = 0, y_2 = 0$

$$\frac{\partial W_1}{\partial y_1}(x, 0) = -\frac{\partial W_2}{\partial y_2}(x, 0),$$

$$D_1 \left[\frac{\partial^2 W_1}{\partial y_2^2}(x, 0) + \omega(1+\nu)\tau_1(x, 0) \right] = D_2 \left[\frac{\partial^2 W_2}{\partial y_2^2}(x, 0) + \omega(1+\nu)\tau_2(x, 0) \right]. \quad /5/$$

Покладучи нульові поздовжніх переміщень на напруження, вважатимемо

зміні в'єднання пластинок $y_1 = 0$, $y_2 = b$ нерухомою

$$w_1(x, \theta) = w_2(x, 0) = 0.$$

/6/

У формулах /1/ - /6/ позначено:

$$\Delta_{\text{зг}} = \frac{\partial^2}{\partial x^2} + \frac{\partial^2}{\partial y^2}, \quad \tau_i = \frac{i^2}{h_i} \int_{-\frac{h_i}{2}}^{\frac{h_i}{2}} t_i y_{3-i} dy_{3-i}, \quad D_i = \frac{E h_i^3}{12(1-\nu^2)},$$

$t_i = t_i(x, y_1, y_2)$ - температура в області i -ї пластинки; h_i - товщина i -ї пластинки; E, ν - пружні характеристики матеріалу пластинок; α - коефіцієнт лінійного розширення; κ, ω - безрозмірні коефіцієнти, які характеризують пружність зачленення нижнього краю поясу в напрямі прогину та повороту.

Розв'язки рівнянь /1/ при $\rho = 0$, що задовольняють умови /2/, /3/, візьмемо у вигляді рядів Фур'є:

$$w_1(x, y_1) = \frac{1+\nu}{D_1} \left\{ \sum_{m=1,3,5,\dots}^{\infty} [A_m \operatorname{ch} \lambda_m (y_1 - \frac{b}{2}) + B_m \lambda_m (y_1 - \frac{b}{2}) \operatorname{sh} \lambda_m (y_1 - \frac{b}{2}) + \right. \\ \left. + \Phi_{im}(y_1)] \sin \lambda_m x + Y_1(x, y_1) \right\},$$

$$w_2(x, y_2) = \frac{1+\nu}{D_2} \left\{ \sum_{m=1,3,5,\dots}^{\infty} [A'_m \operatorname{ch} \lambda_m y_2 + B'_m \lambda_m y_2 \operatorname{sh} \lambda_m y_2 + C'_m \operatorname{sh} \lambda_m y_2 + \right. \\ \left. + D'_m \lambda_m y_2 \operatorname{ch} \lambda_m y_2 + \Phi_{2m}(y_2)] \sin \lambda_m x + \right. \\ \left. + Y_2(x, y_2) \right\},$$

де

$$\Phi_{im}(u) = \frac{1}{\alpha \lambda_m} \int_{\beta_1}^u [\lambda_m(u-\gamma) \operatorname{ch} \lambda_m(u-\gamma) - \operatorname{sh} \lambda_m(u-\gamma)] d\gamma \int_{\beta_2}^t [\Delta_{\text{зг}}^2 \psi_i(\xi, \gamma) - \right. \\ \left. - \omega D_i \Delta_{\text{зг}} \tau_i(\xi, \gamma)] \sin \lambda_m \xi d\xi, \quad \beta_1 = \frac{b}{2}, \quad \beta_2 = 0;$$

$$Y_i(\xi, \gamma) = \omega D_i \frac{\xi^2 (\alpha - \xi)^2}{2 \alpha^2} \tau_i(\xi, \gamma), \quad i = 1, 2; \quad \lambda_m = \frac{m \pi}{\alpha};$$

$A_m, B_m, A'_m, B'_m, C'_m, D'_m$ - новідомі коефіцієнти, які виконують
з умов /4/ - /6/. З першої умови /6/ одержуємо

$$A'_m = \frac{2}{\alpha} \int_0^a Y_2(\xi, 0) \sin \lambda_m \xi d\xi.$$

Інші умови дають систему п'яти лінійних алгебраїчних рівнянь, матриця якої збігається з матрицею системи /10/ праці [3].

Праві частини системи рівнянь R_{im} ($i=1, \dots, 5$) мають такий вигляд:

$$R_{1m} = \frac{1}{2\lambda_m^2} \left\{ \frac{2}{\alpha} \sum_{i=1}^6 (-1)^{i+1} \int_0^a \left[\frac{\partial^2 \psi_i}{\partial y_i^2} (\xi, 0) - \alpha D_i \tau_i (\xi, 0) \right] \sin \lambda_m \xi d\xi - \right. \\ \left. - \frac{\alpha^2 \varphi_{1m}}{\alpha^2 y_i^2} (0) \right\} + \frac{1}{2} (A'_m R_{2m}), \quad /8/$$

$$R_{2m} = \frac{2}{\alpha} \int_0^a Y_1(\xi, 0) \sin \lambda_m \xi d\xi - \varphi_{1m}(0),$$

$$R_{3m} = \frac{1}{\lambda_m} \left[\frac{2}{\alpha} h_1^3 \sum_{i=1}^6 \frac{1}{h_i^3} \int_0^a \frac{\partial \psi_i}{\partial y_i} (\xi, 0) \sin \lambda_m \xi d\xi - \frac{d \varphi_{1m}}{dy_1} (0) \right],$$

$$R_{4m} = \frac{2}{\alpha} \int_0^a \left\{ \psi_2(\xi, c) + KC^2 \left[(v-2) \frac{\partial^2 \psi_2}{\partial x^2 \partial y_2} (\xi, c) - \frac{\partial^2 \psi_2}{\partial y_2^2} (\xi, c) + \right. \right. \\ \left. \left. + \alpha D_2 \frac{\partial \psi_2}{\partial y_2} (\xi, c) \right] \right\} \sin \lambda_m \xi d\xi - \varphi_{2m}(c) + KC^2 \left[(v-2) \lambda_m^2 \frac{d^2 \varphi_{2m}}{dy_2^2} (c) + \right. \\ \left. + \frac{\alpha^2 \varphi_{2m}}{\alpha^2 y_2^2} (c) \right] - \lambda'_m \left[\alpha \lambda_m c + (1-v) KC^2 \lambda_m^2 \sin \lambda_m c \right],$$

$$R_{5m} = \frac{2}{\alpha \lambda_m} \int_0^a \left\{ \frac{\partial \psi_3}{\partial y_2} (\xi, c) + \alpha c \left[\frac{\partial^2 \psi_3}{\partial y_2^2} (\xi, c) + v \frac{\partial^2 \psi_3}{\partial x^2} (\xi, c) - \right. \right. \\ \left. \left. - \alpha D_2 \tau_2 (\xi, c) \right] \right\} \sin \lambda_m \xi d\xi - \frac{1}{\lambda_m} \left\{ \frac{\partial \varphi_{2m}}{\partial y_2} (c) + \right. \\ \left. + \frac{\alpha^2 \varphi_{2m}}{\alpha^2 y_2^2} (c) \right\},$$

$$+ \frac{1}{\pi} \left[\frac{\partial^2 P_{3m}}{\partial Y_0^2} (c) - \nu K_m^2 \Phi_{3m} (c) \right] + K_m^2 \left[\sin \lambda_m c + \right. \\ \left. + (1-\nu) \cos \lambda_m c \right].$$

Розрахунки показали, що у випадку лінійного розподілу температури по товщині пластинок з перепадами $\Delta t_i = h_i \tau_i$ ($i=1, 2$) максимальні розтягуючі напруження на поверхні конструкції у площахах перпендикулярних осям OY_1 і OY_2 , досягаються у точках $x = \frac{a}{2}, y = \frac{h_2}{2}, y_2 = 0$; $x = \frac{a}{2}, y_1 = 0, y_2 = \frac{h_1}{2}$ при додатних перепадах температури і в точці $x = \frac{a}{2}, y_1 = \frac{h_1}{2}, y_2 = 0$ — при від'ємних. Оскільки у перших точках досягають максимуму також кручежння, зумовлені атмоферним тиском [3], то ймовірність руйнування пристрів при охолодженні /перепад температури додатній/ значно вища, ніж при нагріванні.

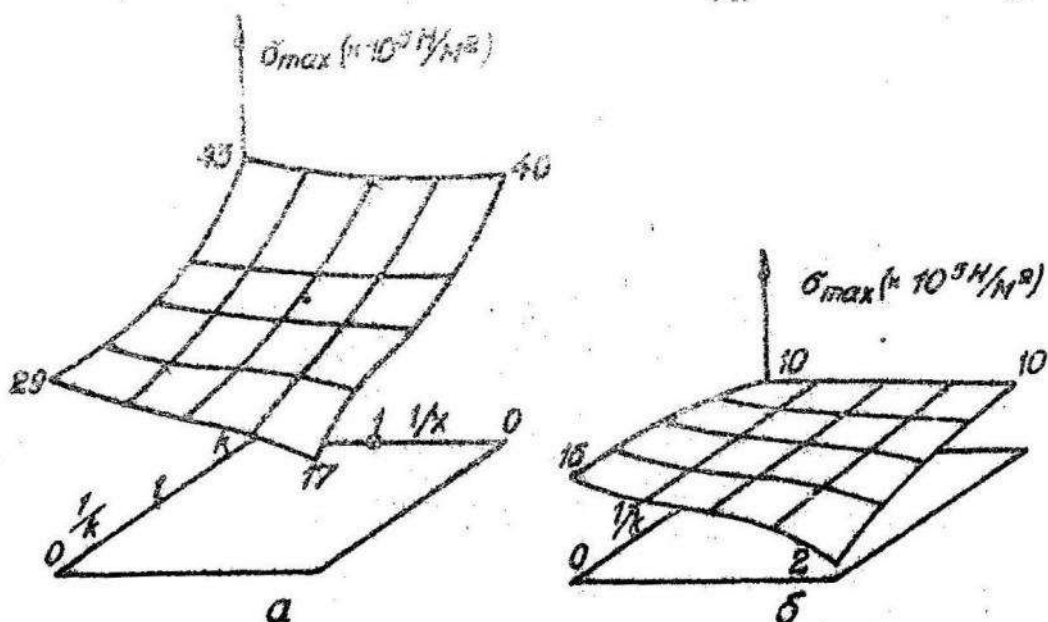


Рис. 2.

На рис. 2 показано графіки максимальних розтягуючих напружень залежно від коефіцієнтів пружного защемлення K , α для балона 16ЛК ($\alpha = 10,5$ см; $b = 10,795$ см; $c = 2,275$ см;

$$h_1 = 0,455 \text{ см}; \quad h_2 = 0,45 \text{ см} \quad \text{при } \nu = 0,22;$$

$$E = 6,04 \cdot 10^{9} \text{ Н/м}^2; \alpha = 0,92 \cdot 10^{-6} \text{ } ^\circ\text{C}^{-1}; \Delta t_1 = 10^\circ,$$

$$\Delta t_2 = 0^\circ / \text{рис. 2, а} /; \Delta t_3 = 0^\circ, \Delta t_4 = 10^\circ / \text{рис. 2, б} /.$$

Для оцінки впливу врахування поздовжніх переміщень розглянуто одновимірний випадок, коли всі характеристики не залежать від координати x . Тоді рівності /1/ - /5/ спрощуються очевидним чином, а замість /6/ матимемо умову рівності переміщень

$$w_i(0) = u_i(0), w_i(0) = u_i(0)$$

та умову рівності зусиль

$$\frac{d^2 w_i}{dy_i^2}(0) = \frac{12h_i}{h_i^3} \left[\frac{du_i}{dy_i}(0) - \alpha(1+\nu) T_i(0) \right],$$

$$\frac{d^2 w_i}{dy_i^2}(0) = \frac{12h_i}{h_i^3} \left[\frac{du_i}{dy_i}(0) - \alpha(1+\nu) T_i(0) \right],$$

де u_i - поздовжні переміщення в пластинках, що задоволяють рівняння

$$\frac{d^2 u_i}{dy_i^2} = \alpha(1+\nu) \frac{dT_i}{dy_i}, i=1,2$$

та умову симетрії $u_i(y_i) = -u_i(\theta - y_i)$, причому

$$T_i = \frac{1}{h_i} \int_{-\frac{h_i}{2}}^{\frac{h_i}{2}} t_i dy_{i-1}.$$

На рис. 3 показано відносну похибку $\delta = \frac{\sigma^* - \sigma}{\sigma}$, σ^* - максимальні напруження з врахуванням та без врахування поздовжніх переміщень для сумарних напружень в екрані балона І6ЛК від атмосферного тиску та хідівних перепадів температури по товщині пластини

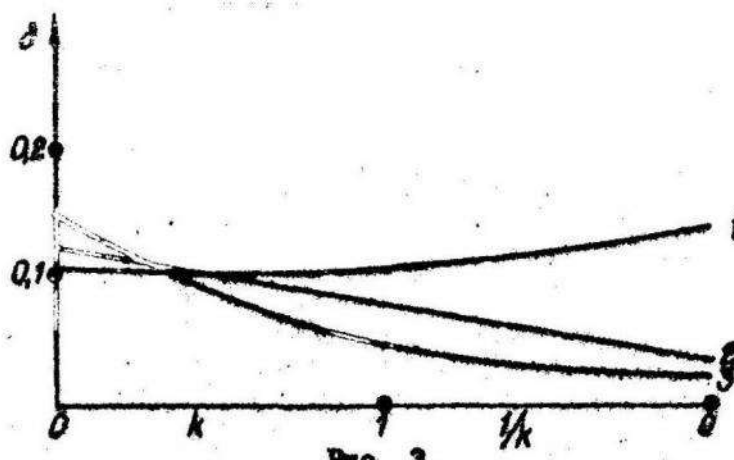


Рис. 3.

ізм. ($\Delta t_1 = 10^\circ$, $\Delta t_2 = 0^\circ$) і висоті полюса $\Delta t_c = 20^\circ$. Криві I – 3 відповідають значенням $\delta e = \infty$, 1, 0. Відносні похибки при $\Delta t_1 = 0^\circ$, $\Delta t_2 = 10^\circ$ мають ту саму величину.

Список літератури: 1. Мелаки З., Паржус Г. Температурные напряжения, вызванные стационарными температурными полями. – М.: Физматгиз, 1958. 2. Постригач Я.С., Коллио Ю.М. Неуставовинесія температурные поля и напряжения в тонких пластинках. Київ: Наукова думка, 1972. 3. Хлебников Д.Г., Паржак А.Н. Приближенный метод определения напряжений в экранном узле кинескопа с плоским экраном. – В кн.: Качество электронно-лучевых приборов. Київ: Наукова думка, 1977.

Стаття надійшла в редколегію 19.02.1980 р.

УДК 539.3:681.3.057

М.Ф.Копитко, Я.Г.Салула

ПРО МОЖЛИВІСТЬ НЕХТУВАННЯ РІЗНИЦЮ РАДІУСІВ ВОЛОСКІН КРИВОЛІНІЙНОЇ ТРУБИ ПРИ ЇЇ РОЗРАХУНКУ

У працях [1, 2] для розрахунку труб з коловою віссю як вихідну систему рівнянь використовують рівняння, одержані за припущення, що радіус перерізу труби малий порівняно з радіусом осі. Ми досліджуємо можливість аналогічних спрощень для розв'язування задачі про